

## أثر الأشعة فوق البنفسجية (UV-A, UV-B) على عملية التركيب الضوئي عند الطحالب البحرية *Cryptomonas maculata* وعند طحلب المياه العذبة *Cosmarium cucumis*

الدكتور عبد الكريم شريف عياش\*

### □ الملخص □

تؤثر الأشعة فوق البنفسجية سلباً على عملية التركيب الضوئي وإنتاجية الطحالب الدقيقة (العلائق النباتية) ويمكن إظهار ذلك من خلال فلورة اليخصوصور (a) وانطلاق الأوكسجين من قبل نظام التركيب الضوئي الثاني. تم إجراء التجارب على اثنين من الطحالب أحدهما بحري *Cryptomonas maculata* والأخر يعيش في المياه العذبة *Cosmarium cucumis* وتبين أن قيم الفلورة العظمى (*Fm*) ترفع عند التعرض للأشعة فوق البنفسجية من نمط *UV-B* ويتناقص إنتاج الأوكسجين عند كلا الطحالبين، إنما عند الطحالب البحري بشكل أكبر وأسرع منه عند طحلب المياه العذبة، أما الأشعة فوق البنفسجية من نمط *UV-A* فكانت ذات تأثير منخفض على الطحالب البحري وشبه معلوم على طحلب المياه العذبة. كما تبين أن الطحالب تستطيع بعد تعريضها للأمواج فوق البنفسجية الطيرية ترميم العطب الحاصل في جهاز التركيب الضوئي، بينما تفشل في ذلك إذا عرضت للأمواج القصيرة ولو لفترة وجيزة.

تشير نتائج هذه الدراسة إلى أن زياد نسبة الأشعة فوق البنفسجية (شكل خاص *UV-B*) نتيجة التخرب المتزايد في طبقة الأوزون بفعل الملوثات البيئية - تؤثر بشكل سلبي واضح على مجموعات العوالق النباتية (الفيلوبلانكتون) وتعمل على تدمير النظم الحيوية المائية.

\* مدرس في قسم العلوم الطبيعية - كلية العلوم - جامعة تشرين - اللاذقية - سوريا.

## Effects of Ultraviolet Radiation on Photosynthesis in the Marine Flagellate Cryptomonas maculata and in the Water Desmid Cosmarium cucumis

Dr. Abed Al-Karim Sharif AIASH\*

### □ ABSTRACT □

The UV radiation (especially UV-B) effects on the photosynthesis of algae: increase chlorophyll fluorescence and decrease oxygen production. The experiments done on two algae: the marine *Cryptomonas maculata* and the fresh water *Cosmarium cucumis* showed that the marine algae was more sensitive towards UV radiations than the fresh water algae.

The UV-A radiation did not show any significant effect on photosynthesis in both algae. The experiments pointed out that a short exposure time of algae at high influence rates of UV had a more pronounced effect than a long exposure time at low influence rates, suggesting the presence of repair mechanism.

The results of the present study indicate that increased UV-B radiation as a result of ozone depletion may have significant effects on phytoplankton populations.

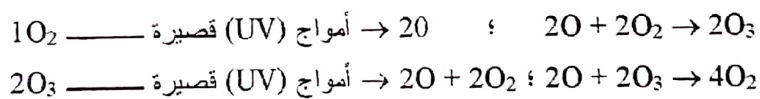
\* Lecturer at the Department of Natural Science, Faculty of Science, Tishreen University, Lattakia, Syria.

## 1- مقدمة:

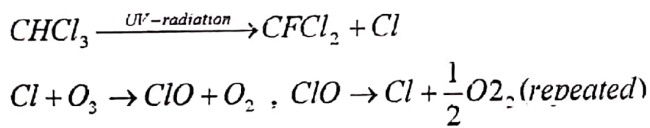
تعتبر الأشعة الشمسية ضرورية جداً لاستمرار الحياة على سطح الأرض، فهي توفر الطاقة اللازمة للتركيب الضوئي وبالتالي المصدر الرئيسي لغذاء جميع الكائنات الحية. لكن الأشعة الشمسية تحتوي أيضاً على مجموعة من الأمواج فوق البنفسجية (UV) الضارة، ولقد تم تقسيم هذه الأمواج حسب طاقتها أو طول موجتها [Lawtor, 1987] إلى:

- UV-C وهي الجزء من الأشعة فوق البنفسجية الأغنى بالطاقة وتتراوح أطوال أمواجها ما بين (100-280 نانومتر) ويتم امتصاصها كلياً في طبقات الجو العليا.
- UV-B: ذات الأمواج الغنية بالطاقة والتي تتراوح أطوالها ما بين (280-320 نانومتر). يجري امتصاص 90% من هذه الأمواج من قبل الأوزون ( $O_3$ ) في طبقة الستراتوسفير من الغلاف الجوي (ما بين 10-50 كم عن سطح البحر)، ويجري امتصاص 10% المتبقية عادة في طبقة التربوسفير من الغلاف الجوي (ما بين 0-12 كم عن سطح البحر), [Acevedo & Nolan, 1993].
- UV-A: وهي الأفقر بالطاقة وتتراوح أطوال أمواجها ما بين (320-400 نانومتر) وهي تصل إلى الأرض بشكل طبيعي وتنشر مع الضوء المرئي [Caldwell et al, 1983].

ينتشر الأوزون في الستراتوسفير الجوي ضمن طبقة قليلة الكثافة تترواح سماكتها ما بين 10-40 كم، لكن كميته تعتبر قليلة، حيث لو جمع هذا الغاز وضغط لشكل طبقة لا تزيد سماكتها عن 40 ملم. يتحطم هذا الغاز ويتشكل باستمرار في الغلاف الجوي عبر عملية ديناميكية متوازنة منذ الأزل، فهو يتشكل بفعل الأشعة فوق البنفسجية القصيرة (أقل من 250 نانومتر) ويتحطم ثانية بفعل الطويلة منها منتجاً الأوكسجين الجزيئي ( $O_2$ ) والأوكسجين الذري ( $O$ )، وفق المعادلات التالية:



بدأ الأوزون يتحطم في العقود الأخيرة بشكل كبير بفعل ملوثات غازية صناعية مجموعة غازات الكلورفلورالكربون (CFC) Chlorinated fluorocarbons، حيث تتحرر من هذه المركبات ذرات الكلور بفعل الأشعة فوق البنفسجية وتهاجم الملابس من جزيئات الأوزون مخرية إياها:



قد نلاحظ ناتج فعل هذه الغازات والتآكل الشديد في طبقة الأوزون لأول مرة فوق منطقة القطب الجنوبي خلال الثمانينات من القرن السابق [Farman et al, 1985]، لكنه من المعروف الآن أن التآكل منتشر أيضاً فوق أجزاء أخرى من الكره الأرضية إنما بدرجات متفاوتة. كما تظهر نتائج الرصد بوساطة الأقمار الصناعية بأن نسبة الأشعة فوق البنفسجية التي تصل الأرض وبخاصة في الأشهر الباردة قد ازدادت بنتيجة التآكل الأوزوني بنسبة 10% خلال العقود الأخيرة. يعتبر الأوزون فيلترًا فعالاً يحول دون وصول الأشعة فوق البنفسجية من نط UV-B إلى الأرض، ومع تآكل طبقة هذا الغاز تبدأ الآثار الضارة لهذه الأشعة الغنية بالطاقة بالظهور عند امتصاص الجزيئات الحيوية لها: تحطم سلاسل DNA، تخرُّب البروتينات، كما يتفاعل الأوكسجين الجزيئي مع الماء ضمن الأوساط المائية بفعل هذه الأشعة معطياً الماء الأوكسيجيني ( $H_2O_2$ )، ذو الأثر المؤكسد الضار للخلايا الحية.

تمو العوالق النباتية - التي تقع في بداية السلسلة الغذائية للكائنات الحية - في الأوساط المائية، حيث تستطيع الأشعة فوق البنفسجية من نمط UV-B اختراق طبقات مياه البحر والبحيرات والوصول إلى منطقة نموها، وبما أن هذه الكائنات بسيطة التكوين وصغريرة الحجم ولا تحتوي على طبقات حماية كالبشرة عند النباتات الراقية، لذلك تكون حساسة جداً تجاه هذه الأشعة التي تنشط عملية التركيب الضوئي لديها [Haeder, 1991] و [Worrest, 1991]. كما تؤثر هذه الأشعة سلباً على مجموعة أخرى من الأفعال الاستقلابية لدى هذه الكائنات، نذكر منها:

اختلال النمو والانقسام الخلوي [Haeder, 1980]، [Calkins & Thordattir, 1980]، اختلال الحركة والانجدابات [Haeder, 1988]، [Doehler, 1985]، اختلال الاستقلاب الآزوتـي بسبب تخرب بنية بعض انزيمات اصطناع الأحماض الأمينية [Anderson et al, 1992]Photosystem II (PSII) [Anderson et al, 1992]

يتجسد الأثر السلبي للأشعة فوق البنفسجية من نمط UV-B على عملية التركيب الضوئي في أشكال عدـة، فهي تعمل على تخرب الأصبغة المساعدة في هذه العملية وبالتالي شحوب النبات وتناقص الامتصاص الضوئي [Haeder & Haeder, 1991] وتدوي إلى تخرب بنية البروتين D1 الذي يشكل قلب المركز التفاعـل للنظام الضوئي الثاني (PSII) [Anderson et al, 1992] الأمر الذي ينجم عنه تناقص في تحرير الأوكسجين والنقل الإلكتروني الضوئي، بالإضافة إلى أنها تنشط أنزيمات حفـة كالفن مما يؤدي إلى الحد من اصطناع الكربوهيدرات.

يهدف بحثنا هذا إلى تبيان أثر الأشعة فوق البنفسجية من نمطي UV-B، UV-A على عملية التركيب الضوئي عند اثنين من الطحالب، أحدهما ينتشر في المياه المالحة: *Cryptomonas maculata*، والآخر يعيش في المياه العذبة: *Cosmarium cucumis* حيث يشكل هذان الطحالبان -إضافة إلى بقية أنواع العوالق النباتية- منتجـاً رئيسـياً للأوكسجين والمادة العضوية ومصدراً اقتصـانياً هاماً لخـاء الأسماك وتنامي الثروـة السمكـية.

## 2- المواد والطريقـة:

### 1-2: الطحالب وشروط النمو:

تمت تربية الطحالب باستمرار ودراسة الشروط المثلـى للنمو في مختبرات العلوم الطبيعـية بجامعة تـشـرين، بينما جـرى دراسـة الأثر المباشر للأشـعة فوق البنفسـجـية على إنتاجـية هـذه الطـحالـب في مختـبرـات الفـيـزـيـوـلـوـجـياـ النـبـاتـيةـ بـجـامـعـةـ اـرـلانـجنـ -ـ توـرمـيرـغـ،ـ أـلمـانـيـاـ،ـ بـالـاستـفـادـةـ مـنـ الـمنـحةـ المـقـدـمةـ مـنـ قـبـلـ هـيـئةـ (DAAD)ـ الـأـلمـانـيـةـ خـلـالـ صـيفـ الـعـامـ 1995ـ.

تم التوصل على الطحلب البحري *C. maculata* بشكله المعزول النقي من مخبر البيولوجـياـ فـي بلـايـمـوـثـ،ـ إنـكـلـنـتراـ Marine Biology Laboratory-Plymouthـ وـعـلـىـ الطـحلـبـ *C. cucumis*ـ منـ مـخـبـرـ زـرـاعـةـ الطـحالـبـ فـيـ غـوـتـينـجـنـ،ـ أـلمـانـيـاـ Goettingen Culture Collection Germanyـ،ـ وـجـرـتـ تـسـبـيـتهاـ مـنـ أـجـلـ الحـفـاظـ وـالـاسـتـمـارـارـيـةـ فـيـ درـجـةـ حرـارـةـ 18ـ-21ـ ̊ـمـ وـتحـتـ شـرـوـطـ تـنـاوـبـ بـيـنـ 12ـ ساعـةـ ظـلـامـ/12ـ ساعـةـ ضـوءـ أـبـيـضـ صـنـعـيـ (1.2ـ وـاطـ/مـ<sup>2</sup>)ـ عـلـىـ أـوـسـاطـ هـلـامـيـةـ حـاوـيـةـ عـلـىـ الـأـغـارـ آـغـارـ بـنـسـبـةـ 2%ـ لـمـحـلـولـ مـعـدـنـيـ مـغـذـيـ معـذـلـ [Provasioli et al, 1957]ـ [Warris, 1953]ـ بـالـنـسـبـةـ لـطـحلـبـ كـ،ـ ضـمـنـ أـنـابـيبـ اـخـتـارـ زـجاجـيـةـ وـتحـتـ شـرـوـطـ مـعـقـمـةـ.

قبل إجراء تجربة الفلورة وانطلاق الأوكسجين كان يجري نقل 0.5 غ من الطحالب إلى 150 مل من محلول السائل المغذي المناسب (بدون آثار آغار) ضمن أرلنماير زجاجية سعة 300 مل وتترك للنمو لفترة 4-6 أسابيع تحت شروط إضاءة مستمرة (لمبات نيون: 1.28 واط/م<sup>2</sup>) ودرجة حرارة 18°C، ثم تؤخذ منها الكمية المناسبة للاختبار ويتم بعدها تثبيتها (10000 دوره/دقيقة) وحلها في وسط سائل جديد، حيث يضبط عددها (مليون خلية/مل) بواسطة مجهر مرتبط مع كاميرات فيديو وكمبيوتر لتحليل الصورة . [Haeder & Vogel, 1991]

## 2-2: التعريض للأشعة فوق البنفسجية:

جرى في البداية تثبيل الطحالب من محلولها السائل المغذي ومن ثم ترحيلها إلى محلول جديد من نفس السائل بعد ضبط عددها (مليون خلية/مل). تم بعد ذلك توزيع محلول الطحالب في أطباق بتري (نصف قطر = 8.5 سم) بمعدل 20 مل لكل طبق. عرضت الأطباق إلى الأشعة فوق البنفسجية الاصطناعية الصادرة عن منبع خاص (Transilluminator: IL312, Bachofer, germany). يُصدر المنبع إشعاعات فوق البنفسجية ضمن المجال [280-400 نانومتر] وبلغ الإصدار شدته العظمى عند الموجة 312 نانومتر. وضعت الأطباق على مسافة 12 سم من المنبع وعرض بعضها للأشعة لفترات زمنية مختلفة، بينما ترك بعضها الآخر كشاهد دون تعريض. كما جرى استخدام مرشحات زجاجية شفافة للأشعة فوق البنفسجية (White glass) UV-cut off- Filter, Schott & Gen., Mainz, Germany) لتحديد أثر كل نمط من هذه الأشعة على حدة، حيث كان يُعد إلى تغطية بعض الأطباق بأقطار مختلفة من هذه الشريحة (تسمح كل شريحة بمرور الأشعة فوق البنفسجية ذات الموجة الأطول من الرقم على الشريحة، بينما تحول دون مرور الأشعة ذات الموجة الأقصر).

## 2-3: تحديد شدة الفلورة اليخصوصورية:

جرى تحديد شدة الفلورة الصادرة عن اليخصوصور (a) ضمن الخلايا السليمية بواسطة جهاز قياس الفلورة (PAM-Fluorometer, Gamma Scientific, San Diego, USA) الذي يعطي بواسطة ذراعه الدقيق المسلط على الطحالب وميضا ضوئيا لمدة 0.8 ثانية، مما يؤدي إلى تهييج اليخصوصور، وبقياس الجهاز المرتبط مع كمبيوتر وبعد التضخيم الكبير كلا من الفلورة القاعدية (F0) والفلور العظمى (Fm) الصادرتين عن اليخصوصور.

كان يُعد تجريبياً إلىأخذ 4 مل من محلول الطحالب التي عرضت للأشعة أو من الشاهد وتصب في أنابيب اختبار لترك بعدها لمدة نصف ساعة في الظلام من أجل ضمان أكسدة النواقل الإلكترونية ضمن نظامي التركيب الضوئي (PSI, PSII) حيث يجري بعدها قياس الفلورة.

## 2-4: تحديد كمية الأوكسجين المنطلقة من التركيب الضوئي:

جرى تحديد شدة انطلاق الأوكسجين باستخدام اسطوانة قياس صغيرة (قطر = 20 مل، حجم = 10 مل) مصنوعة من مادة الفايبر الزجاجي الشفاف، حيث يُعد إلى صب محلول الطحالب (تركيز = مليون خلية/مل)، الذي يُركب تحریکه باستمرار داخل الاسطوانة بواسطة خلاط مغناطيسي طيلة فترة القياس. يجري بعد ذلك تغطیس مسرى كلارك (Clark-Electrode: Yellow Spring Instruments, Ohio,

(USA) بشكل محكم، مع عدم الإبقاء على فقاعات هوائية داخل محلول. يرتبط مسرى كلارك مع جهاز سقطاب وإظهار الناقلية، الذي يرتبط بدوره مع كمبيوتر مزود ببرنامج خاص (Oxym55: Haeder & Schaefer, Uni-Erlangen, Germany) لحساب التبدلات في كمية الأوكسجين داخل أسطوانة القياس.

تعرض الأسطوانة الحاوية على محلول الطحالب إلى منبع ضوئي هالوجيني باستطاعة 250 واط، حيث تبلغ الشدة الضوئية داخل محلول حوالي:  $60 \text{ واط}/\text{م}^2$  أو ما يعادل 18 كيلولوكس. جرى تحديد الشدة الضوئية بواسطة خلية ضوئية صغيرة الحجم عالية الحساسية مرتبطة مع جهاز خاص لهذا الغرض (Microvoltmeter: Keithley, Type 155). قبل البدء بالقياس كان يجري حفظ الطحالب في الظلام لمدة عشر دقائق، يجري خلالها أيضاً تغيير وضبط جهاز القياس عن طريق إضافة القليل من مادة ثنائية كبريت الصوديوم ( $\text{Na}_2\text{S}_2\text{O}_3$  10mM) إلى محلول بدون طحالب للحصول على التركيز الأدنى للأوكسجين ضمن محلول، ومن ثم عن طريق ضخ الهواء في محلول لمدة ساعة للوصول إلى حد الإشباع بالأوكسجين.

توجد أسطوانة القياس وجميع الأجهزة الأخرى داخل غرفة صغيرة مزودة بجهاز تكييف أوتوماتيكي للحفاظ على درجة حرارة ثابتة طوال فترة القياس.

### 3- النتائج والمناقشة:

#### 3-1: الفلورة اليخصوصورية:

تعتبر الفلورة اليخصوصورية معياراً يحدد مدى الهدر الطاقي خلال حداثة التركيب الضوئي، ويمكن من أجل تقديرها أن نستخدم مقياساً نسبياً لها (Y)، حيث:

$$\text{Yield (Y)} = \text{Fv/Fm} - \text{Fm-Fo/Fm}$$

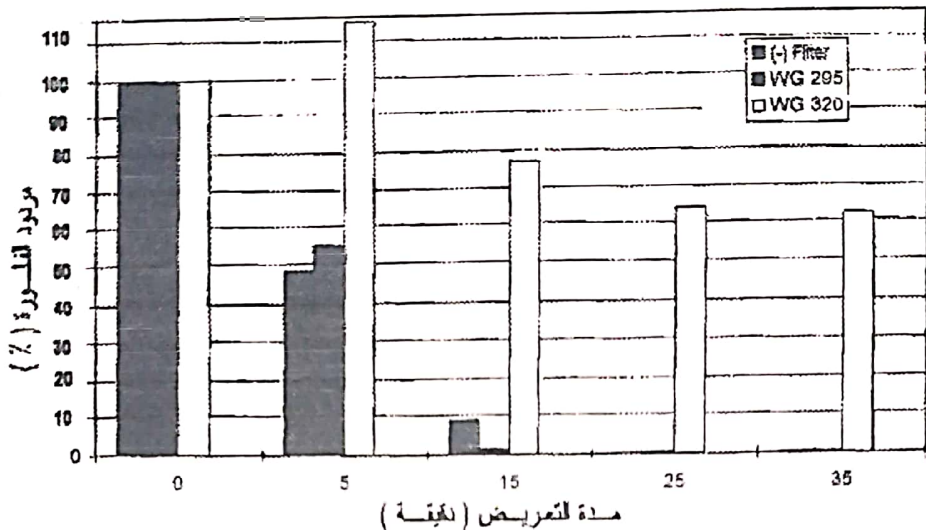
F<sub>v</sub>: الفلورة المتغيرة.

F<sub>m</sub>: الفلورة العظمى، التي تصدر عن جزيئات اليخصوصور (a) ضمن المراكز التفاعلية Reaction-Centers (RC) لنظامي التركيب الضوئي، وهي ترتفع بشكل كبير متوافراً مع الخلل الذي يطرأ على جهاز التركيب الضوئي.

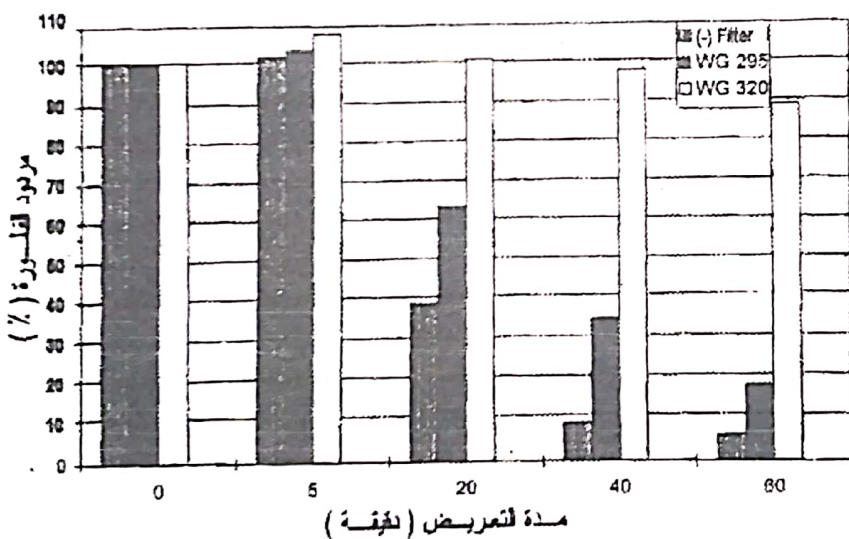
F<sub>o</sub>: الفلورة القاعدية: التي تصدر عن جزيئات اليخصوصور (a) ضمن معقدات اقتناص الضوء Light Harvesting Complexes (LHC)، وهي ترداد أيضاً مع تشيط التركيب الضوئي إنما بدرجة أقل من (F<sub>m</sub>). وهذا فإن النسبة ( $Y = Fv/Fm$ ) يتراقص مع تشيط عملية التركيب الضوئي.

لقد تبين لنا عند تعريض الطحالب موضوع دراستنا إلى الأتمات المختلفة من الأشعة فوق البنفسجية لفترات زمنية مختلفة أن هناك انخفاضاً في مردود الفلورة (Y) بفعل هذه الأشعة إنما تختلف شدته بحسب نمط الأشعة ومدة التعريض ونوع الطحلب كما يتبيّن فيما يلي:

- لدى التعريض للأشعة بدون فلتر (UV-A+UV-B) يبدأ التناقص في قيم F<sub>v</sub>/F<sub>m</sub> بالظهور بعد خمس دقائق بالنسبة لطحلب *C.maculata* (50% مقارنة بالشاهد) وبعد 20 دقيقة من التعريض بالنسبة لطحلب *C.cucumis* (38% مقارنة بالشاهد)، وأنعد المردود بالنسبة لطحلب البحري بعد 25 دقيقة، بينما كان لا يزال يشكل حوالي (66% مقارنة بالشاهد) بالنسبة لطحلب المياه العذبة، الشكلان (1,2).



الشكل (1): أثر الأمواج المختلفة من الأشعة فوق البنفسجية (باستخدام قنطر مختلفة من الفيلتر الزجاجي (WG) على مردود الفلورة الخضورية عند الطحلب البحري *C.maculata* بعد التعرض لفترات زمنية مختلفة.

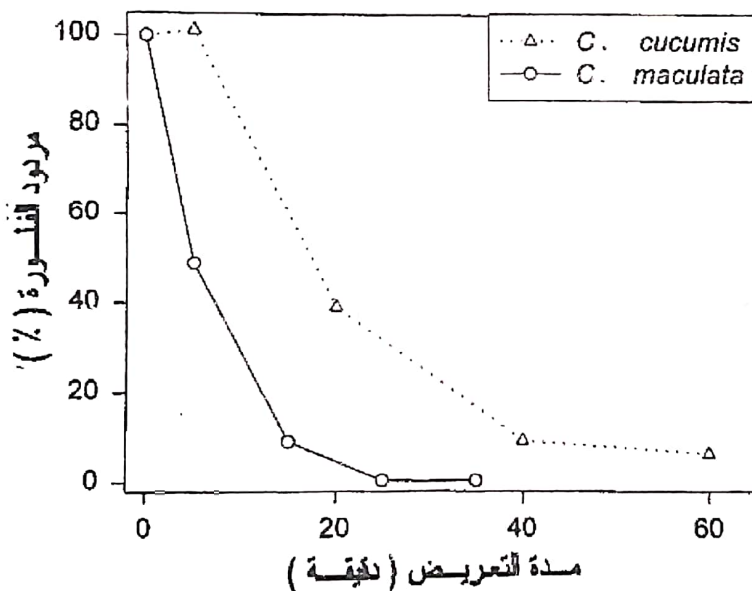


الشكل (2): أثر الأمواج المختلفة من الأشعة فوق البنفسجية (باستخدام قنطر مختلفة من الفيلتر الزجاجي (WG) على مردود الفلورة الخضورية عند الطحلب البحري *C.cucumis* بعد التعرض لفترات زمنية مختلفة.

- بعد التعرض للأشعة بوجود الفيلتر WG295 (يحجب جزءاً من UV-B وينتفي جزءاً من UV-A+UV-B) كان التناقص في قيمة مردود الفلورة (Y) أقل ووضوحاً عند *C.cucumis* (62% بعد 20 دقيقة) منه عند *C.maculata* (15% بعد 15 دقيقة)، الذي كان التناقص لديه مشابهاً لحالة عدم وجود الفيلتر، الشكلان (1,2).

- بعد التعريض للأشعة بوجود الفلتر WG320 (يجب UV-B ولا يقي سوى UV-A) كان تأثير طحلب المياه العذبة شبه معدوم، بينما أبدى الطحلب البحري تأثيراً واضحاً بها (62% بعد 35 دقيقة من التعريض) الشكل (1).

- لاحظنا من مجلد ما نقدم انخفاضاً في التاسب  $Fv/Fm$  مع التعرض للأشعة فوق البنفسجية مما يعني ارتفاعاً في قيم كل من الفلورة القاعدية ( $F_0$ ) والفلورة العظمى ( $F_m$ ). يعكس ارتفاع قيمة الفلورة الأثر السلبي لهذه الأشعة على كل من معقدات افتراض الضوء (LHC) وعلى النقل الإلكتروني ضمن النظام الضوئي الثاني (PSII) تحديداً، حيث أن النظام الضوئي الأول (PSI) يطلق فوتونات الفلورة حتى في الحالة الطبيعية. لقد لاحظنا أيضاً ارتفاعاً طفيفاً في قيم هذا التاسب (مردود الفلورة Yield) بعد التعريض لفترات قصيرة (5 دقائق) بوجود الفلتر (WG320) عند كلا الطحلبين، الشكلان (1,2)، الأمر الذي يمكن أن يعزى إلى توزع طاقة التهيج ضمن معقدات افتراض الضوء بسبب تشويط النقل الإلكتروني في النظام الثاني. ومن الجدير بالذكر أنه لا يمكن لهذه الطاقة المتوزعة أن تساهم في حلقة الكزانتفيلات لأن إنزيم Violaxanthin deepoxidase المسماه في هذه الحلقة يكون قد تضرر وتثبط بفعل الأشعة فوق البنفسجية، [Pfundel et al, 1992]



الشكل (3): مقارنة مردود الفلورة عند كلا الطحلبين *C.cucumis* و *C.maculata* بعد تعريضهما للأشعة UV المباشرة لفترات زمنية مختلفة، بدون استخدام الفلتر الزجاجي.

يتبيّن لنا من خلال إجراء مقارنة بين كلا الطحلبين لدرجة تحمل الأشعة فوق البنفسجية أن طحلب المياه العذبة *C.cucumis* يبدي تحملًا أشد تجاه هذه الأشعة مقارنة بالطحلب *C.maculata*، الشكل (3)، وهذا يمكن تفسيره في أن طحلب المياه العذبة تصله دومًا في بيته كميات أكبر من أشعة UV مما أدى

إلى تأقلمه إلى حد ما مع هذه الأشعة، أما الطحالب البحري الذي يعيش في الأعماق حيث لا تصل كمية كبيرة من هذه الأشعة فكان تأقلمه أقل.

على الرغم من شروط الإضاءة المنخفضة في بيئة الطحالب البحري فإنه يعتبر فعالاً في عملية التركيب الضوئي بفعل احتواه على كميات كبيرة من صباغ الفيكواريترين *Phycoerytherin*، الذي يعتبر صباغاً مساعداً لليخضور في أداء وظيفة الامتصاص الضوئي. ومن الجدير بالذكر في هذا السياق أن نشير إلى أن الأشعة فوق البنفسجية تعمل على تخريب أصبغة التركيب الضوئي حيث يتخرّب الفيكواريترين أو لا بشكل أسرع من اليخضور (a)، ويعود السبب في ذلك إلى أن اليخضور يتوضع إلى جهة سردة الثايلاكويد .*loculus*

لكن اليخضور يتخرّب أيضاً مع استمرار التعرض للأشعة UV بوجود الأوكسجين في الوسط، حيث تطرأ عليه عملية أكسدة ضوئية فيتخرّب اليخضور (c) في المرحلة الأولى ومن ثم اليخضور (a). [Haeberlein & Haeder, 1992]

### 3-2: انطلاق الأوكسجين:

يتناقص إنتاج الأوكسجين عند كلا الطحالبين بشكل متزايد بعد تعريضهما إلى الأشعة فوق البنفسجية. ويعزى هذا التناقص في المرحلة الأولى إلى تغيرات بنوية داخل معقدات امتصاص الضوء (LHC)، الأمر الذي يقود إلى تناقص في فعالية النقل الطاقي ضمنها، حيث لا تصل الطاقة إلى المراكز التفاعلية (RC) لنظامي التركيب الضوئي، بل تنتفخ على شكل فلورة وبالتالي لا يجري شطر لجزيئات الماء ولا يتحرّر الأوكسجين. يطرأ في المراحل اللاحقة حسب شدة أشعة UV (حسب طاقتها التي تتناسب عكساً مع طول موجتها) شحوب في الأصبغة وتخرّب بروتيني متدرج.

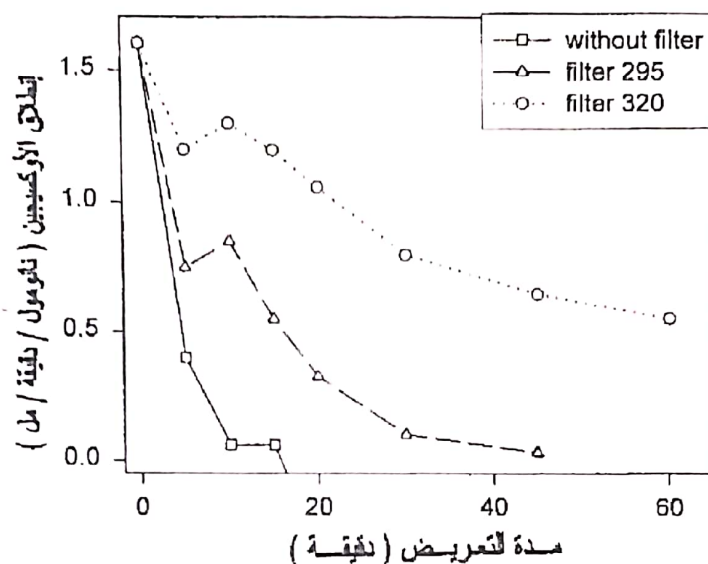
- بعد تعريض الطحالب للأشعة فوق البنفسجية بدون فلتر، لوحظ تناقص سريع في إنتاج الأوكسجين عند كلا الطحالبين (عند *C. maculata* أسرع منه عند *C. cucumis*) خلال فترة وجيزة من الزمن، الشكلان (4.5).

- بعد التعريض للأمواج الطويلة من أشعة UV-B (بوجود الفلتر WG295) وجد أن تناقص إنتاج الأوكسجين كان بدرجة أقل. كما أبدى الطحالبان بعد تعريضهما لمدة 10-15 دقيقة ازدياداً ملحوظاً في إنتاج الأوكسجين (أكثر منه بعد خمس دقائق وأقل بكثير من الشاهد)، الأمر الذي يمكن أن يعزى إلى أن التثبيط الذي أصاب بعضها من بروتينات جهاز التركيب الضوئي تم ترميمه وإصلاحه بسرعة، لكن كمية الأوكسجين المنطلق تعود للانخفاض لدى الطحالب التي عرضت لفترات زمنية أطول، الشكلان (4,5).

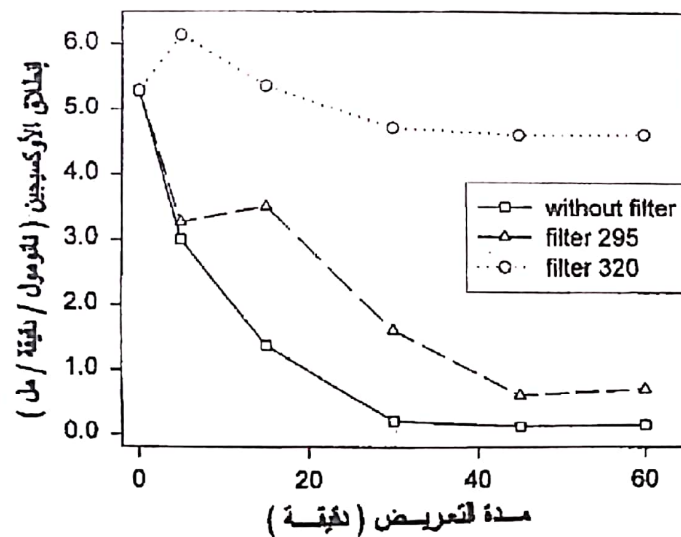
لقد وجد أيضاً أن الطحالب التي عرضت لهذا النمط من أمواج UV - الطويلة ولو لفترة زمنية طويلة قادرة على استعادة مقدرتها في إطلاق الأوكسجين بعد حفظها في الظلام بضع ساعات، بينما لم يكن ذلك ممكناً عند الطحالب التي عرضت للأمواج القصيرة من UV-B (ذات الطاقة العالية) ولو لفترة قصيرة. تتفق هذه النتيجة تماماً مع ما تم التوصل إليه عند المشطورة *Thalassiosira pseudonanae* [Cullen & Thalassiosira pseudonanae 1991] بعد تعريضها لأمواج قصيرة وطويلة من أشعة UV-B. تعمل الأمواج القصيرة من أشعة UV-B على شحوب أصبغة التركيب الضوئي وتخرّب بنية البروتين D1، الذي يتوضع ضمن المركز التفاعلي (RCII) للنظام الضوئي الثاني بشكل جسيم وغير قابل للترميم (تخرّب ضوئي Photo-damage)،

بينما تعمل الأمواج الطويلة من أشعة UV-B (ذات الطاقة المنخفضة) على تخريب طفيف وتثبيط جزئي عملية التركيب الضوئي من الممكن ترميمه (تثبيط ضوئي Photo-inhibition).

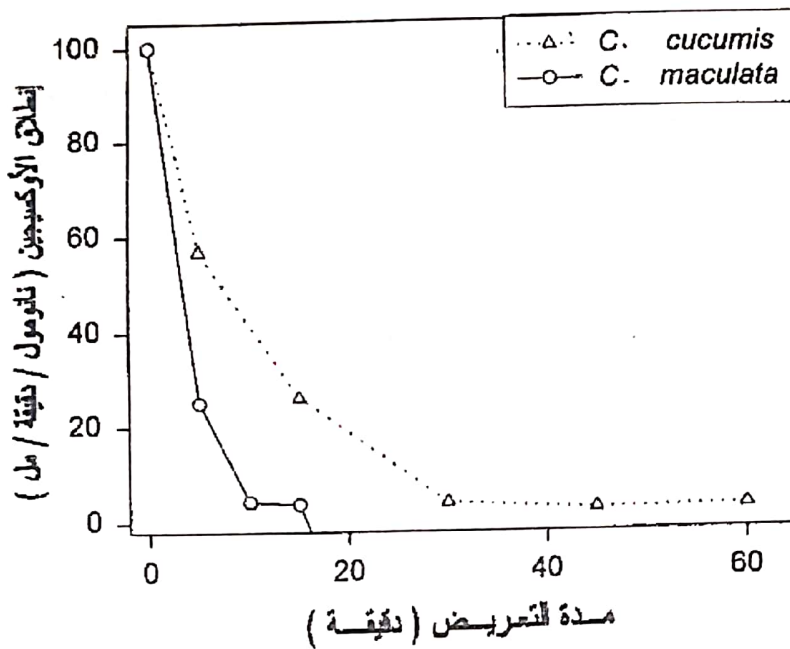
- يظهر لنا باستخدام الفيلتر (WG320) التأثير المنخفض للأشعة فوق البنفسجية من نمط UV-A (النفيرة بالطاقة، التي تنتشر الأمواج الطويلة منها مع الضوء المرئي) على إنتاجية الطحالب وانطلاق الأوكسجين، فبينما تناقص إنتاج الأوكسجين عند الطحلب البحري بشكل قليل، لوحظ أن تأثيرها على طحالب المياه العذبة كان شبه معدوم، الشكلان (4,5).



الشكل (4): أثر الأمواج المختلفة من الأشعة فوق البنفسجية (باستخدام أنماط مختلفة من الفيلتر الزجاجي WG) على انطلاق الأوكسجين عند الطحلب البحري *C.maculata* بعد التعرض لفترات زمنية مختلفة.



الشكل (5): أثر الأمواج المختلفة من الأشعة فوق البنفسجية (باستخدام أنماط مختلفة من الفيلتر الزجاجي WG) على انطلاق الأوكسجين عند الطحلب البحري *C.cucumis* بعد التعرض لفترات زمنية مختلفة.



الشكل (6): مقارنة انطلاق الأوكسجين عند كل الطحالبين *C.cucumis* و *C.maculata* بعد تعریضهما لأشعة UV  
المباشرة لفترات زمنية مختلفة، بدون استخدام الفلتر الزجاجي.

تظهر مقارنة انطلاق الأوكسجين عند كلا الطحالبين بعد تعریضهما المباشر لأشعة UV-B بدون فلتر أن طحلب المياه العذبة *C.cucumis* أكثر تحملًا للأثر الضار لهذه الأشعة من الطحلب البحري *C.maculata*، وبعد تعریض كل نمطي الطحالب لهذه الأشعة لمدة 15 دقيقة مثلاً لوحظ أن طحلب *C.cucumis* لا يزال يطلق حوالي 30% من الأوكسجين مقارنة بالشاهد، بينما ينعدم انطلاق الأوكسجين تماماً عند طحلب *C.maculata* خلال الفترة الزمنية نفسها، الشكل (6). يعزى هذا الاختلاف في درجة تحمل الأشعة فوق البنفسجية إلى اختلاف البيئة التي يعيش فيها كل من الطحالبين ومدى عمقيها ضمن المياه كما أوردنا أعلاه.

تشير هذه الدراسة إلى أن زيادة نسبة الأشعة فوق البنفسجية وبخاصة من نمط B UV (التي تشير بفعل إنتاج وانطلاق غازات الفلوركلاوروکاربون المسيبة للتخرُب طبقة الأوزون) تؤدي إلى تناقص في عملية التركيب الضوئي وإنزاجية تجمعات العوالق النباتية، مؤثرة بذلك سلباً على النظام الحيوي المائي، حيث وجد أن ثبيت غاز  $\text{CO}_2$  يتراجع بمقدار 25% بعد التعریض لهذه الأشعة ضمن العشرين متراً الأولى من عمود الماء [Holm-Hansen, 1990]. هذا ويعتبر التراجع الهائل في شدة التركيب الضوئي عند طحالب الشواطئ النيوزيلندية كما وجد حديثاً - نتيجة مباشرة للتخرُب الكبير والتدميري في طبقة الأوزون اعتباراً من منطقة القطب الجنوبي، حيث يعتقد أيضاً لو أن الأشعة الشمسية كانت عمودية مباشرة (بما تحتويه من أشعة فوق بنفسجية) فوق منطقة القطب الجنوبي ذاتها لزال كل أثر للحياة هناك.

## REFERENCES

## المراجع

- [1]- ACEVEDO J. & NOLAN C. (1993): Environmental UV-Radiation, Service of the European Commission. Directorate XII for Science, Research and Development, Brussel.
- [2]- ANDERSON B., SALTER A.H., VIRGINI, VASSI, STYRING S. (1992): Photo-damage to photo-system II primary and secondary events. *J. Photochem. Photobiol.* 15, 15-31.
- [3]- CALDWELL M.M., ROBBERECHT R., FLINT S. (1983): Internal filters: Prospects for UV-acclimation in higher plants. *Physiol. Plant* 28, 445-450.
- [4]- CALKINS J. & THORDATTIR T. (1980): The ecological significance of solar UV-radiation on aquatic organisms. *Nature* 283, 563-566.
- [5]- CULLEN J.J. & LESSER M.P. (1991): Inhibition of photosynthesis by ultraviolet radiation as a function of dose and dosage rate: results for a marine diatom. *Mar. Biol.* 111, 183-190.
- [6]- DOELER G. (1985): Effect of UV-B radiation on the nitrogen metabolism of several marine diatoms. *J. Plant Physiol.* 118, 391-400.
- [7]- FARMAN J.C., GARDINER B.G., SHANKLIN J.D. (1985): Large losses of total ozone in Antarctica reveal seasonal ClO<sub>x</sub>/No<sub>x</sub> interaction. *Nature* 315, 207-210.
- [8]- HAEBERLEIN A. & HAEDER D.P. (1992): UV-effects on photosynthetic oxygen production and chromoprotein composition in the freshwater flagellate Cryptomonas S<sub>2</sub>. *Arch. Protoz.* 31, 85-92.
- [9]- HAEDER D.P. & HAEDER M.A. (1988): Inhibition of motility and phototaxis in the green flagellate Euglena gracilis by UV-B radiation. *Arch. Microbiol.* 150, 10-25.
- [10]- HAEDER D.P. & HAEDER M.A. (1991): Effects of solar and artificial UV-radiation on motility and pigmentation in the marine Cryptomonas maculata. *Env. Exp. Bot.* 31, 33-41.
- [11]- HAEDER D.P. & VOGEL K. (1991): Real time tracking of microorganisms. *Image Analysis in Biology* (Haeder D.P., Ed) CRC Press., Boca Raton, pp.289-313.
- [12]- HAEDER D.P. & WORREST R.C. (1991): Effects of enhanced solar ultraviolet radiation on aquatic ecosystems. *Photochem. Photobiol.* 53, 717-725.
- [13]- HOLM-HANSEN O. (1990): UV-radiation in Antarctic waters: effect on rates of primary production. In Proc. Work-Shop on "Response of Marine Phytoplankton to Natural Variations in UV-B Flux". Scripps Institution of Oceanography.
- [14]- LAWLER D.W. (1987): *Photosynthesis: Metabolism, control and physiology*, Longman Group UK limited.
- [15]- PFUNDEL E.E., PAN R.S., DILLEY R.A. (1992): Inhibition of violaxanthin deepoxidation by ultraviolet-B radiation in isolated chloroplasts and intact leaves. *Plant. Physiol* 98, 1372-1380.
- [16]- PROVASIOLIL, McLAUGHLIN J.J., DROOP M.R. (1957): The development of artificial media for marine algae. *Arch. Microbiol.* 25, 392-428.
- [17]- WARRIS H. (1953) The significans for algae of chelating substances in the nutrient solutions. *Physiol. Plant.* 3:538-543.